Rapport d'étape sur le développement de l'assimilation variationnelle 4D (4D-Var)

Séminaire présenté le 5 avril 20024/8/2002

Pierre Gauthier, Monique Tanguay, Simon Pellerin et Nils Ek Collaboration: Stéphane Laroche, Josée Morneau et Ayrton Zadra

Cliquez ici pour démarrrer

Table des matières

Rapport d'étape sur le développement de l'assimilation variationnelle 4D (4D-Var)

Introduction

Opérations impliquées dans une itération interne du 4D-Var

Stratégie retenue

Avantages

Pseudo-code du 3D-Var

Pseudo-code du 3D-Var (suite)

Pseudo-code GEM-DM

Echange d'objets

Diapositive PPT

Vectorisation du modèle adjoint

Modifications à l'algorithme de l'adjoint

Coûts informatiques (30 itérations)

Optimisation possible

Assimilation d'une donnée

Incrément d'analyse obtenu du 3D-Var vs. 4D-Var

Coupe verticale de l'incrément d'analyse en réponse à une observation à la fin de la période d'assimilation

Expériences d'assimilation

Représentation schématique des fenêtres d'assimilation impliquées

Assimilation des observations au temps exact

Comparaison des écarts aux observations de température (écarts-type) (AIREP/ACARS)

Comparaison des écarrts aux observations ATOVS

Forçages présentés au modèle adjoint

Expérience de minimisation 4D-Var

Incréments d'analyse 4D-Var et FGAT

Coupe verticale de l'incrément d'analyse

Aspects informatiques et techniques

Aspects scientifiques

Aspects scientifiques (suite)

<u>Résumé</u>

Conclusion

Fin...

Rapport d'étape sur le développement de l'assimilation variationnelle 4D (4D-Var)

Pierre Gauthier Monique Tanguay

Simon Pellerin Nils Ek

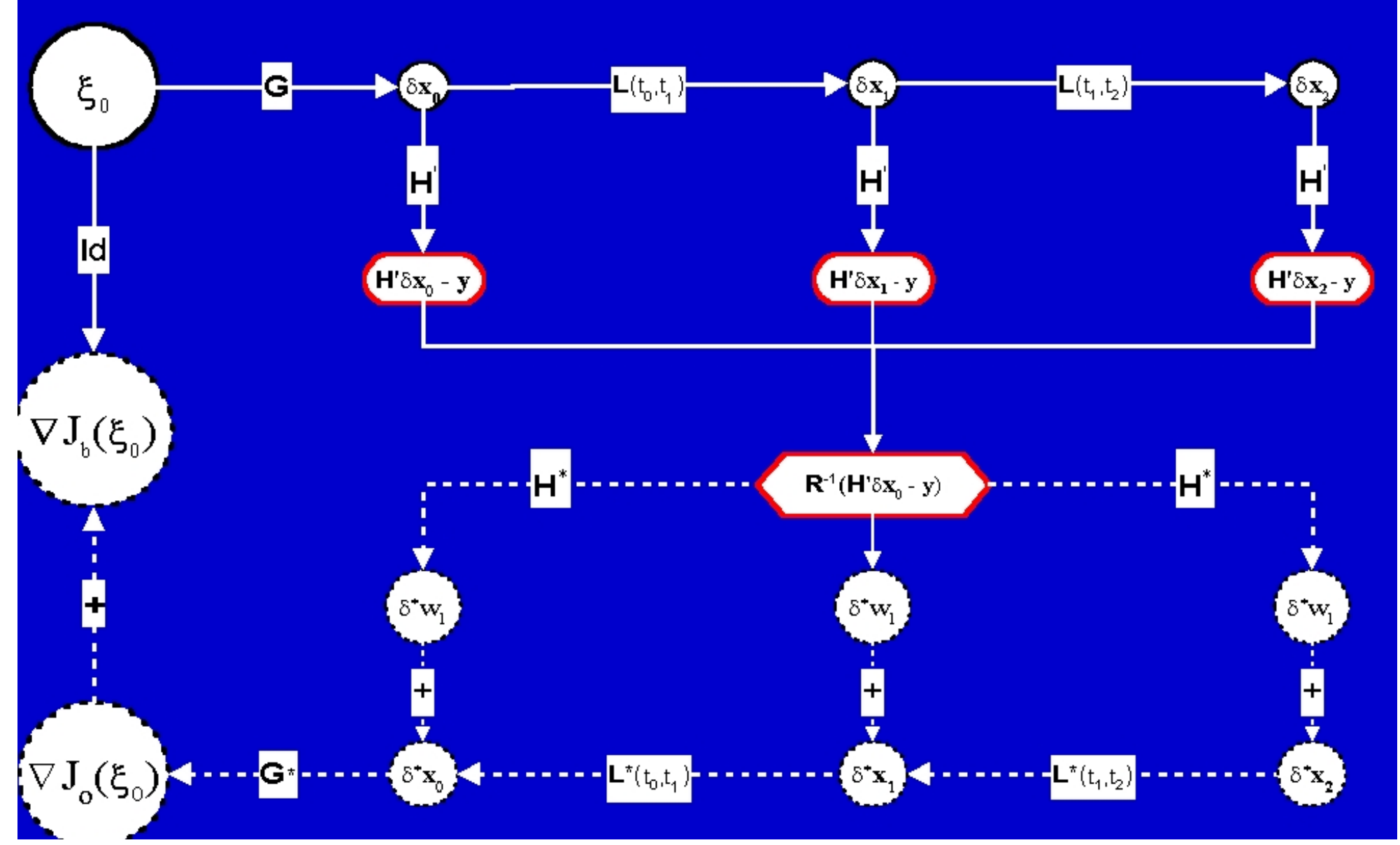
Participation spéciale:

Josée Morneau, Stéphane Laroche et Ayrton Zadra

Introduction

- Séminaire précédent (6 octobre 2000)
 - Décomposition des algorithmes d'assimilation en opérations élémentaires
 - Approche modulaire au développement d'un 4D-Var
 - Couplage de ces modules assuré par un logiciel externe qui gère l'assignation des ressources informatiques (e.g., PALM)
- PALM (en développement)
 - Impose des contraintes sur le développement du 3D-Var et de GEM-DM

Opérations impliquées dans une itération interne du 4D-Var



Stratégie retenue

- Conserver le 3D-Var actuel qui agit comme contrôleur du processus de minimisation
- Effectuer des requêtes à GEM-DM
 - Intégration du modèle linéaire tangent (TLM)
 - Intégration du modèle nonlinéaire
 - Intégration à rebours du modèle adjoint
- Mécanismes similaires à ceux utilisés pour les systèmes couplés
 - Communication de type bitstream
 (librairie Prof développée par Simon Pellerin)

Avantages

- Développement du 3D-Var peut se poursuivre (e.g., ajout de nouveaux types d'observations)
- Boucle d'évènements introduite dans GEM-DM
 - Réponse aux requêtes envoyées par le 3D-Var
 - Contrôle à haut niveau qui n'impose pas de contraintes sur le développement du modèle
- Exécution simultanée de GEM-DM et du 3D-Var

Pseudo-code du 3D-Var

```
Call CAIN
Call SPA2SP
              \delta \mathbf{X} = \begin{pmatrix} \delta \mathbf{u}^T & \delta \mathbf{v}^T & \delta \mathbf{T}^T & \delta \ln q^T & \delta p_s^T \end{pmatrix}^T
Call SPGD;
if (4DVar)
   Call PutDx; Requête à GEM-DM: Intégration du TLM
                    Retour: profils d'états-modèle aux points d'obs.
   Call GetProf; Mise en attente du 3D-Var pour la réception des
                    états-profils (GOMOBS)
else
   Call Bilin
end if
Applications des opérateurs d'observation (sans égards au temps
   d'observation)
Adjoint des opérateurs d'observation
```

Pseudo-code du 3D-Var (suite)

if (4DVar)

Call PutProf_Ad;

Call GetDx;

else

Call Bilinad

end if

Call SPA2SPAD

Call CAINAD

Requête à GEM-DM: Envoi de profils-adjoints

Intégration à rebours du modèle adjoint

Mise en attente du 3D-Var pour la réception

de $\nabla_{\!\!X}\!J_{\scriptscriptstyle \mathcal{O}}$

Pseudocode GEM-DM

```
Event Loop: do while (nstatus.eq.0)
  Call V4d GetEvent(nevent,nstatus)
  Select Case (Nevent)
  Case (TLM Event)
      CALL V4D GETDX (NSTATUS)
      call gem ctrl tl()
      CALL V4D PUTPROF (NSTATUS)
  Case (Adj Event)
      CALL V4D GETPROF (NSTATUS)
      call gem ctrl ad()
      call v4d putdx(nstatus)
  Case (Nonlinear Event)
      call v4d getdx(nstatus)
      call gem ctrl()
      CALL V4D PUTPROF (NSTATUS)
  Case (End Event)
      NSTATUS = -99
  End Select
End Do Event Loop
```

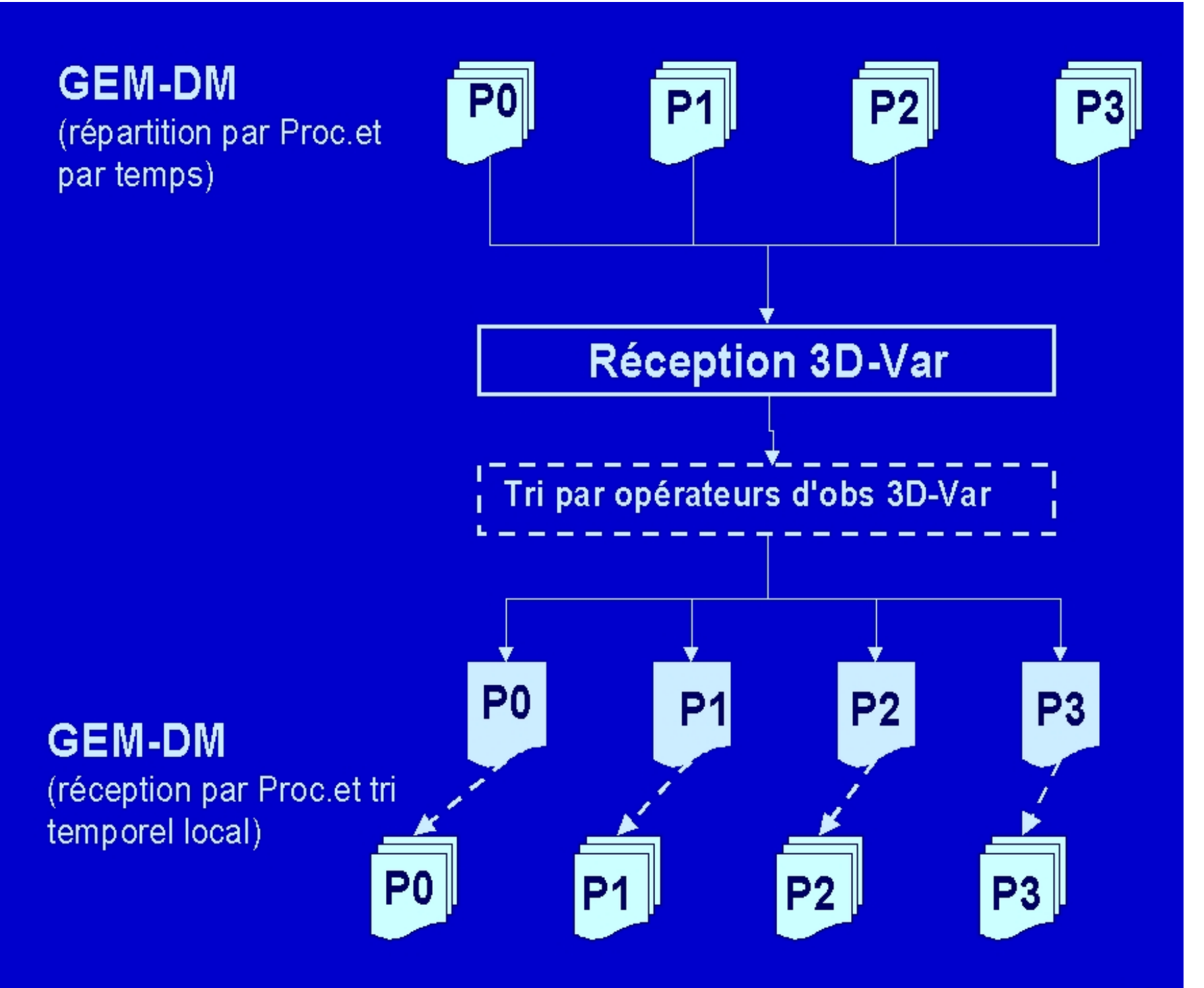
Echange d'objets

V4d_GetDx

- passage de la Grille Gaussienne → Grille GEM
- passage aux variables de GEM (sur la grille scalaire)
- passage à la grille décalée pour les vents

V4d_PutProf

- A chaque temps d'observation,
 - conversion aux variables physiques sur la grille scalaire
 - interpolation horizontale (EZSCINT) aux points d'observation des étatsmodèle nécessaires à l'opérateur d'observation (e.g. T et ln q seulement pour les TOVS).
- Envoi groupé à la fin de l'intégration directe (TLM ou nonlinéaire)
- Adjoints de ces deux fonctions



Expérimentation avec le 4D-Var

Description

- Incréments produits sur une fenêtre d'assimilation de 6-h
- Résolution (240 × 120 × 28) correspondant à celle des incréments du 3D-Var actuel
- Toutes les observations actuellement utilisées (vers. 9.2.0 du 3D-Var)
- GEM-DM (vers. 2.3.1)

But:

- Estimé des coûts informatiques
- Test de l'impact de l'assimilation des observations au temps exact
- Application sur un cas sensible aux conditions initiales (Laroche et al., 2002)

Vectorisation du modèle adjoint

- Code direct peut très bien vectorisé
 - exemple: interpolation semi-lagrangienne 1D

```
DO J = 1,N

K = KK(J)

X5(J) = Y5(K)

+ W5(J)*(Y5(K+1)-Y5(K))

END DO
```

 Code linéaire tangent correspondant

```
DO J = 1,N

K = KK(J)

X(J) = Y(K)

+W5(J)*(Y(K+1)-Y(K))

+W(J)*(Y5(K+1)-Y5(K))

END DO
```

Code adjoint

```
DO J = 1,N

K = KK(J)

W(J) = W(J) + (Y5(K+1) - Y5(K)) *X(J)

Y(K) = Y(K) + (1 - W5(J)) *X(J)

Y(K+1) = Y(K+1) + W5(J) *X(J)

END DO
```

Modifications à l'algorithme de l'adjoint

Algorithme original

GEMDM	Time (sec)	Flops	Mflops/sec
Non-linéaire	7.512	16024947717	2133.194
LinéaireTangent	13.281	32059675285.	2414.010
Adjoint	137.923	50542604123.	366.455

Nouvel algorithme (C. Temperton et M. Tanguay)

GEMDM	Time (sec)	Flops	Mflops/sec	
Non-linéaire	7.483	16024947698	2141.523	
LinéaireTangent	12.857	32059675286.	2493.452	
Adjoint	39.848	50368462343.	1264.015	
Í				

Coûts informatiques (30 itérations)

	USER	SYSTEM	TOTAL
3D-Var	346.9	110.5	457.4
Entrée de GEM (GEMNTR)	26.5	11.6	38.1
GEM (Proc #0)	1564.8	184.3	1749.1
GEM (Proc #1)	1601.4	42.3	1643.7
GEM (Proc #2)	1608.1	41.5	1649.6
GEM (Proc #3)	1588.7	42.3	1631
Total	6736.4	432.5	7168.9

Temps d'exécution réel (temps de mur)

$$-T_{\text{total}} = T_{3D-Var} + T_{\text{GEM-DM}}$$

= $457.4 + 38.1 + 1749.1 = 2244.6$

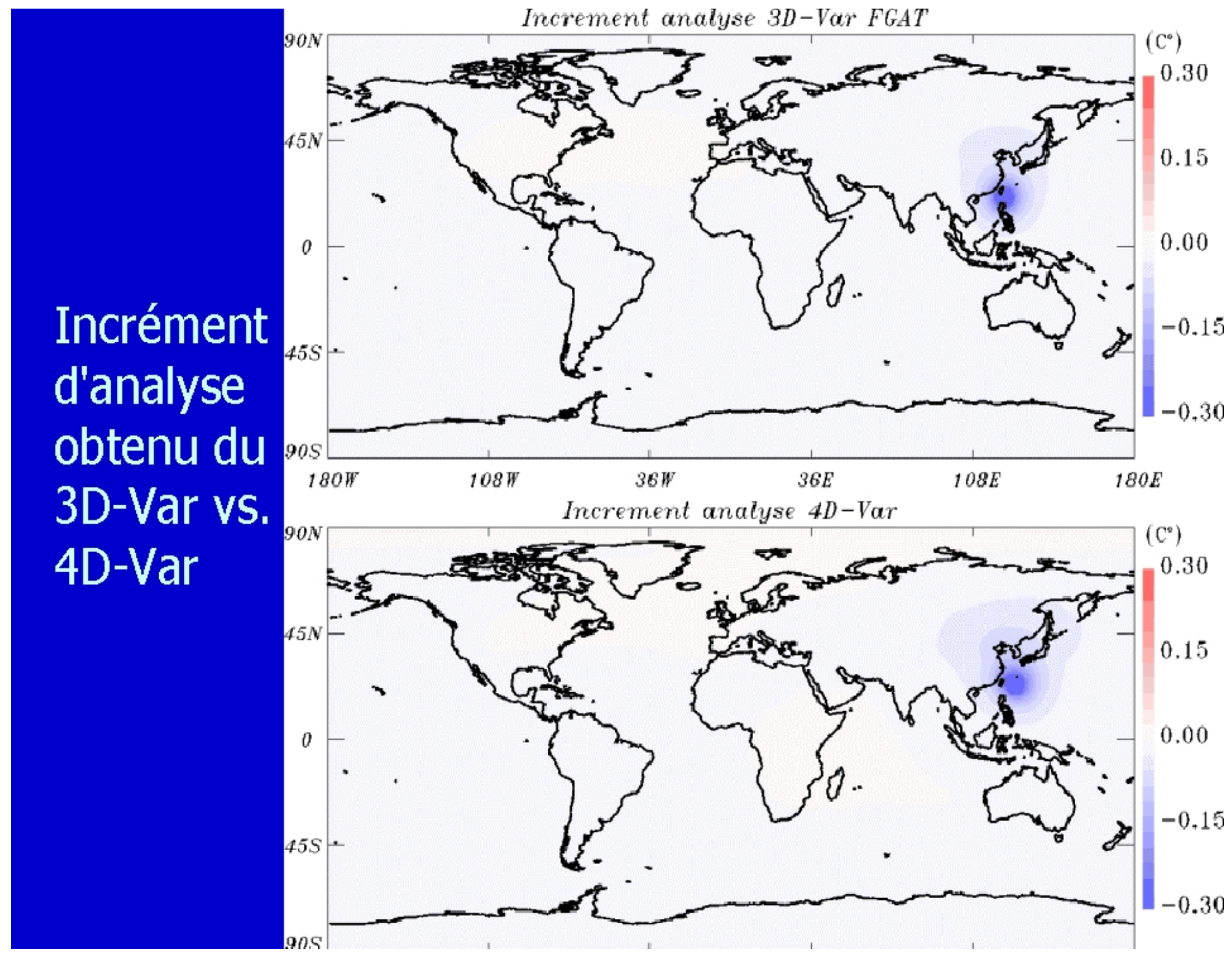
 Equivaut à 5 fois le temps d'exécution du 3D-Var

Optimisation possible

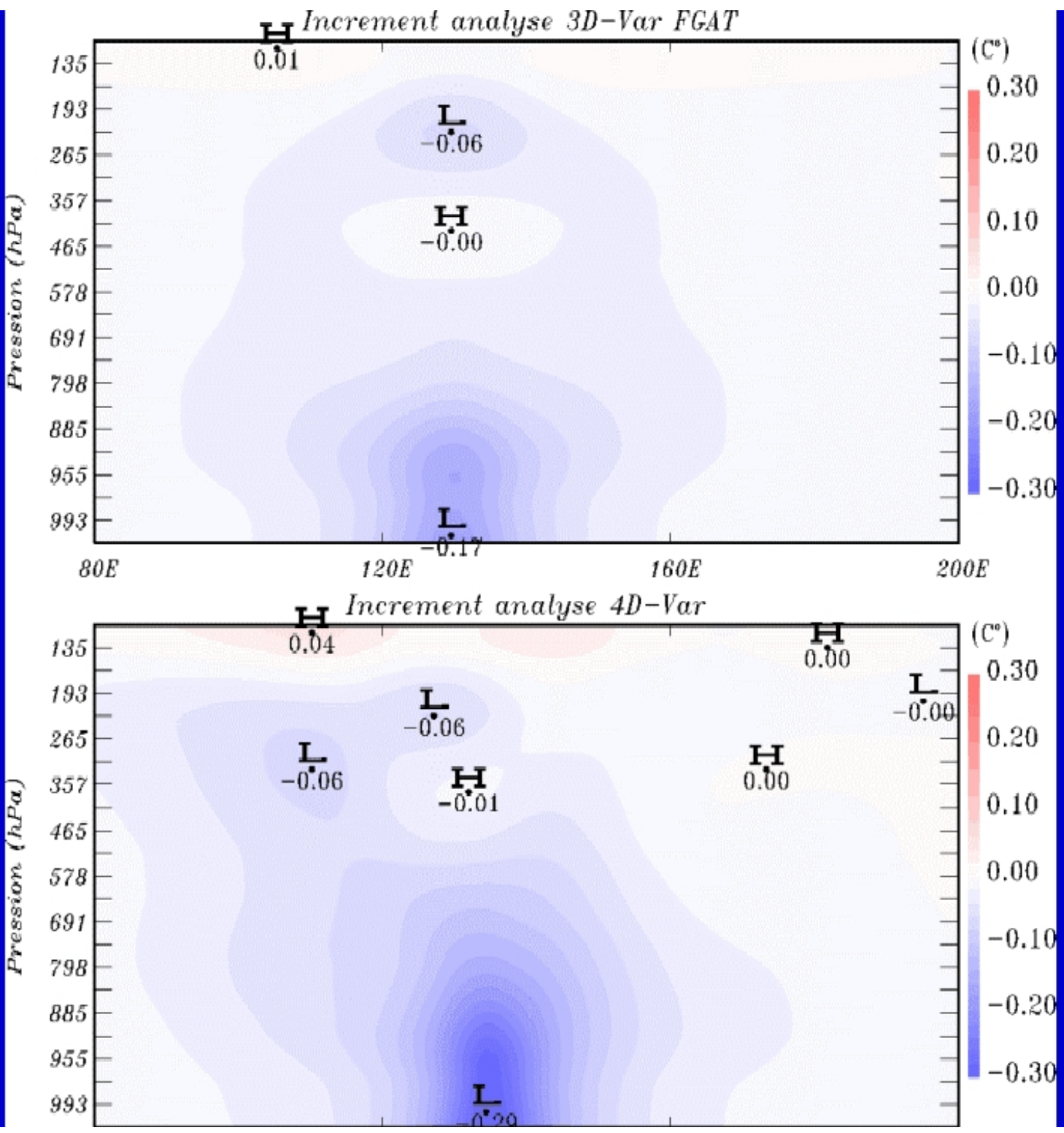
- Efficacité de l'adjoint
 - Réduction possible dans l'exécution du modèle adjoint
- Préconditionnement de la minimisation (Fisher et Courtier, 1995; Fisher et Andersson, 2001)
 - Estimation approximée de J'' = P_a^{-1} fournie par l'algorithme de minimisation
 - Calcul des vecteurs singuliers dominants

Assimilation d'une donnée

- Travail en cours
 - Comparaison des incréments 4D-Var 6h à ceux obtenus de l'étude de sensibilité (Laroche *et al.*, 2002)
 - Changements produits par l'analyse de sensibilité (0-24h) sur la prévision à 72h
- Comparaison des incréments 3D-Var et 4D-Var



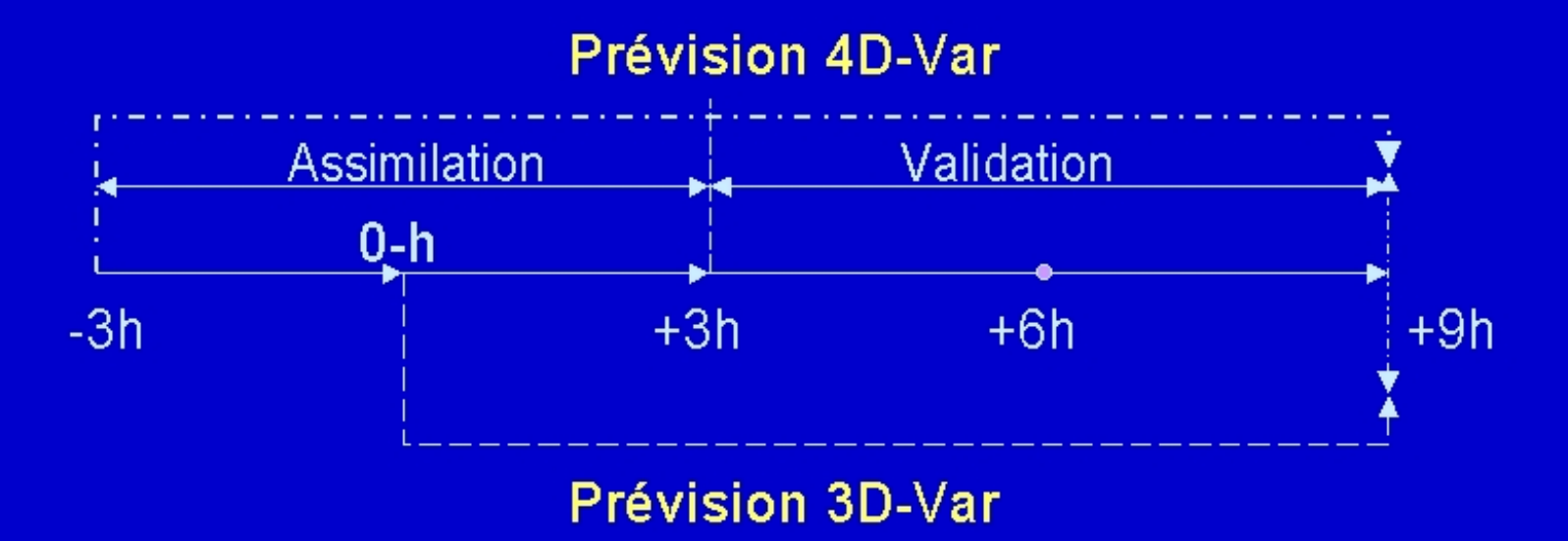
Coupe verticale de l'incrément d'analyse en réponse à une observation à la fin de la période d'assimilation



Expériences d'assimilation

- Assimilation 3D-Var avec calcul des innovations au temps 'exact'
 - "First-Guess at Appropriate Time" (FGAT) (Lönnberg, 1988)
 - Incréments produits à l'heure synoptique
- Assimilation 4D-Var 6-h
 - ajustement effectué à T 3-h
 - Analyse obtenue d'une intégration 6-h

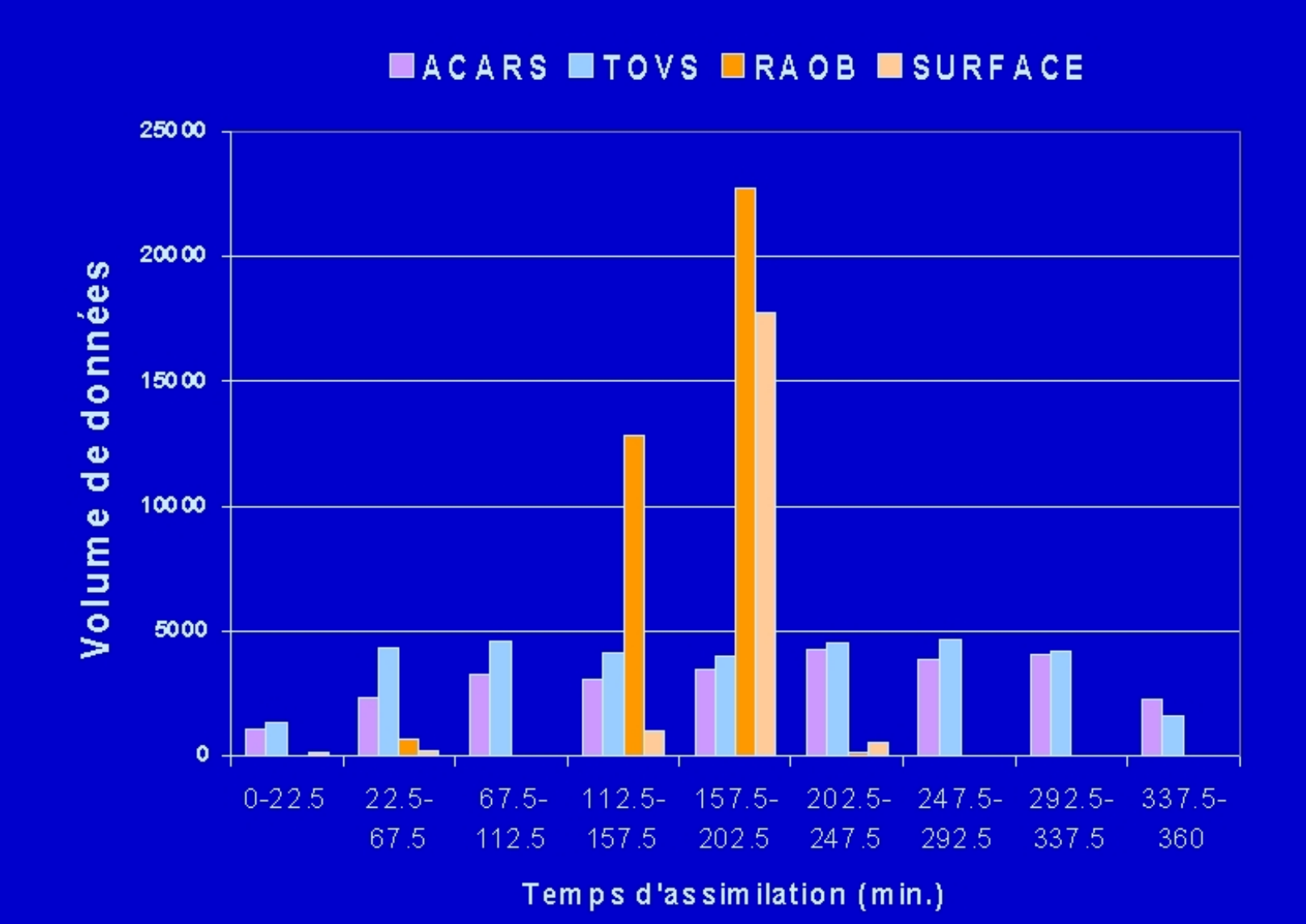
Représentation schématique des fenêtres d'assimilation impliquées



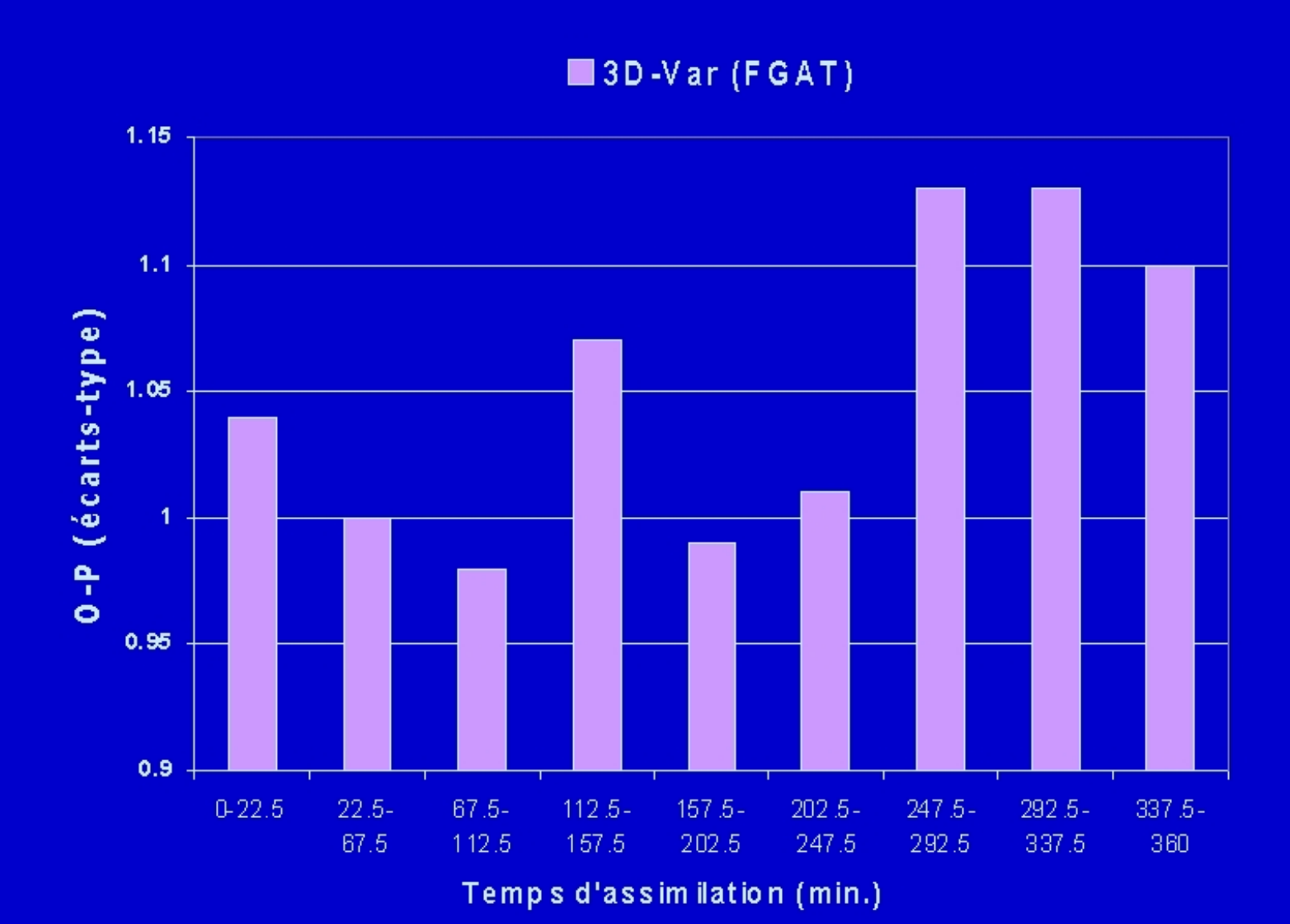
Fenêtre d'assimilation: -3h < t < +3h

Période de validation : +3h < t < +9h

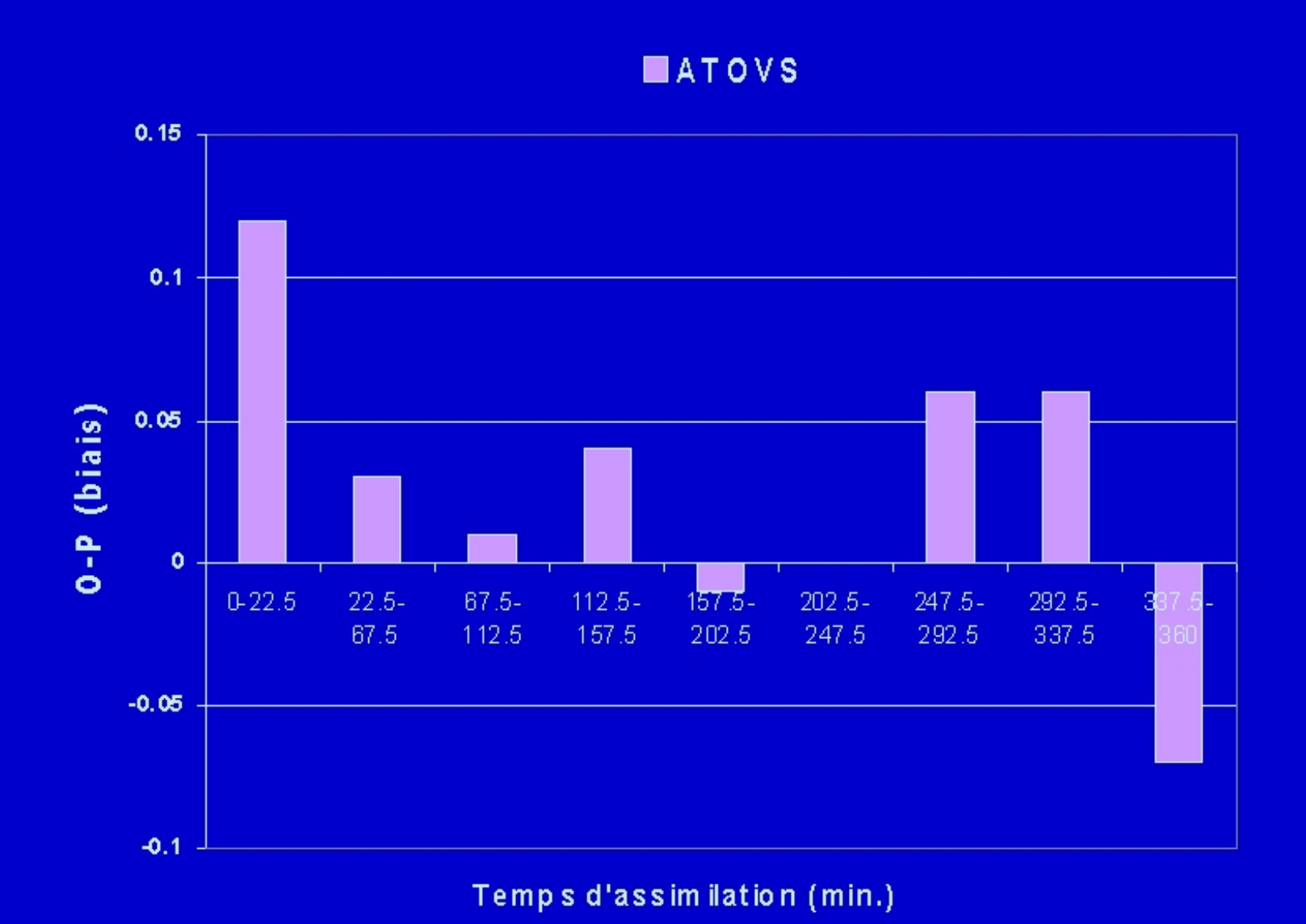
Assimilation des observations au temps exact

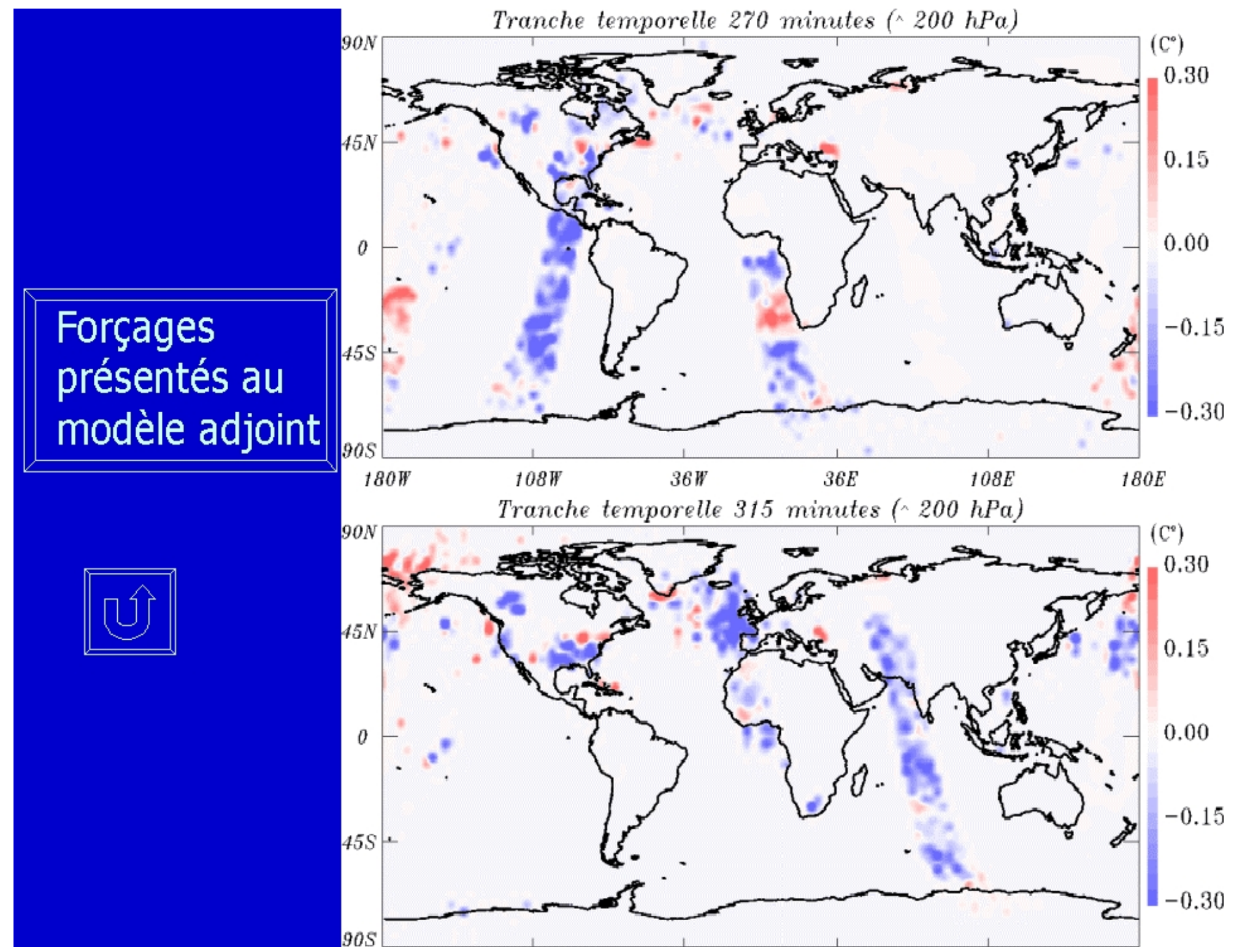


Comparaison des écarts aux observations de température (écarts-type) (AIREP/ACARS)



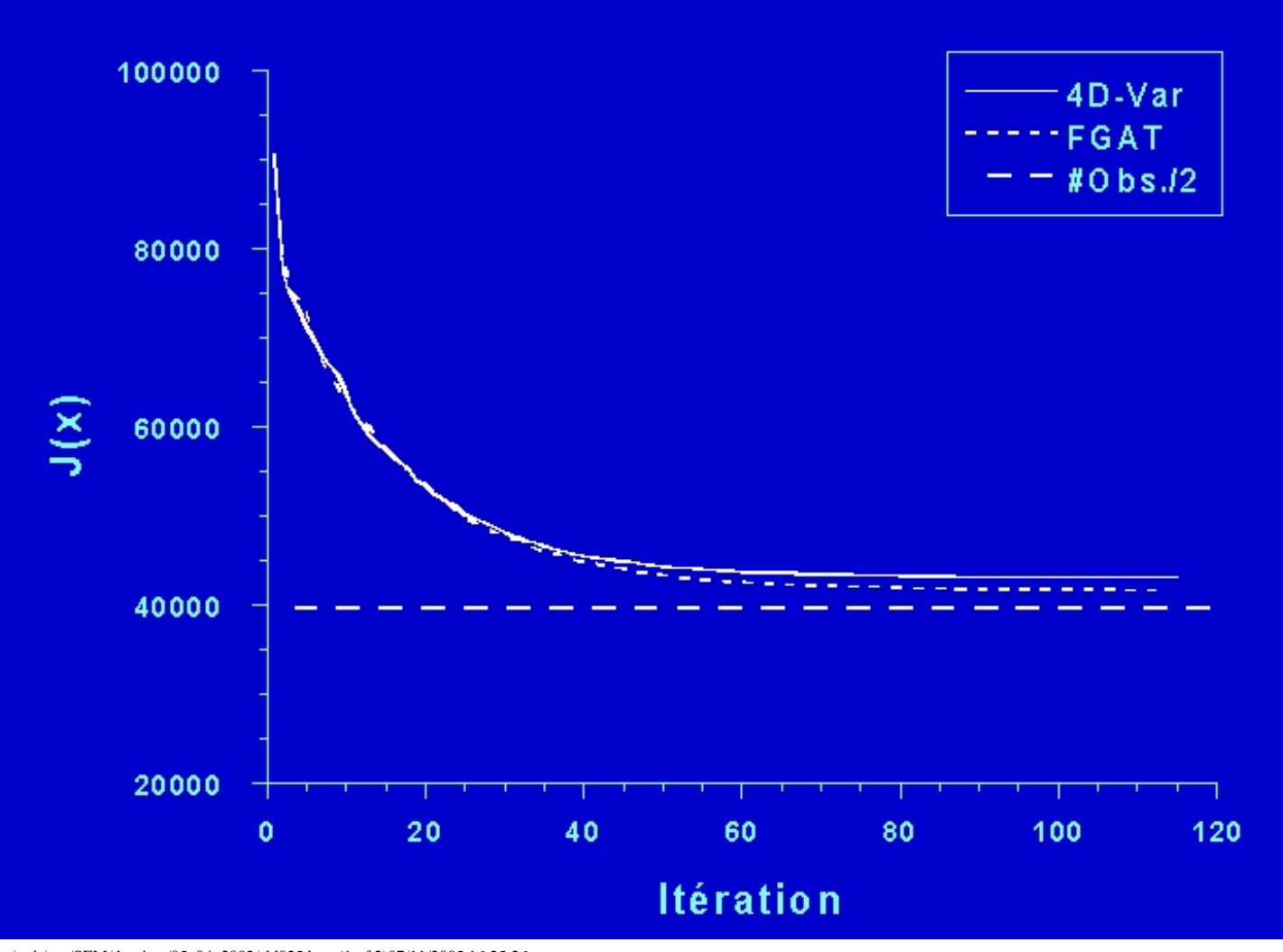
Comparaison des écarts aux observations ATOVS





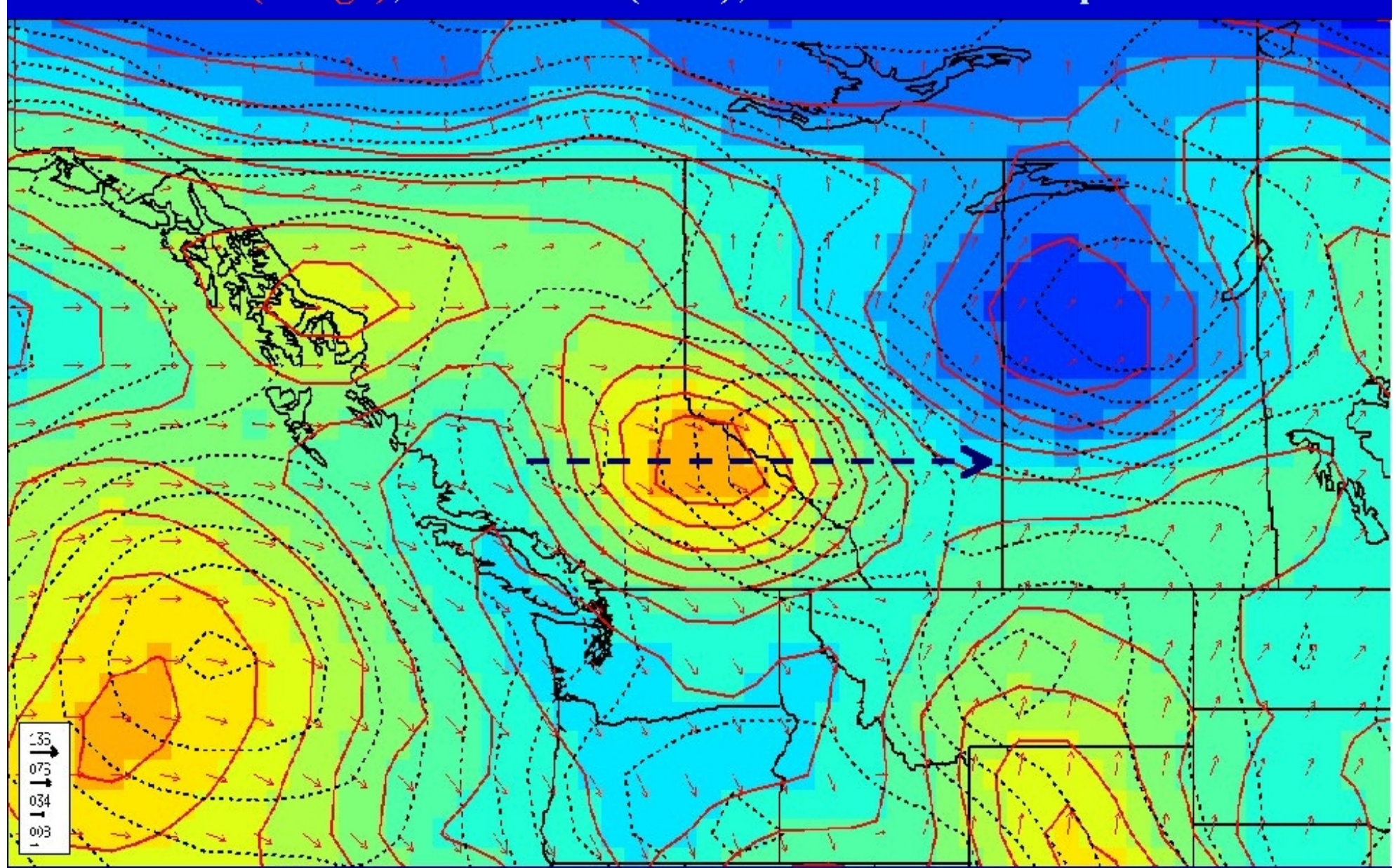
Expérience de minimisation 4D-Var

- ATOVS, SATWINDS et HUMSAT ont été exclues
- Comparaison avec une assimilation FGAT

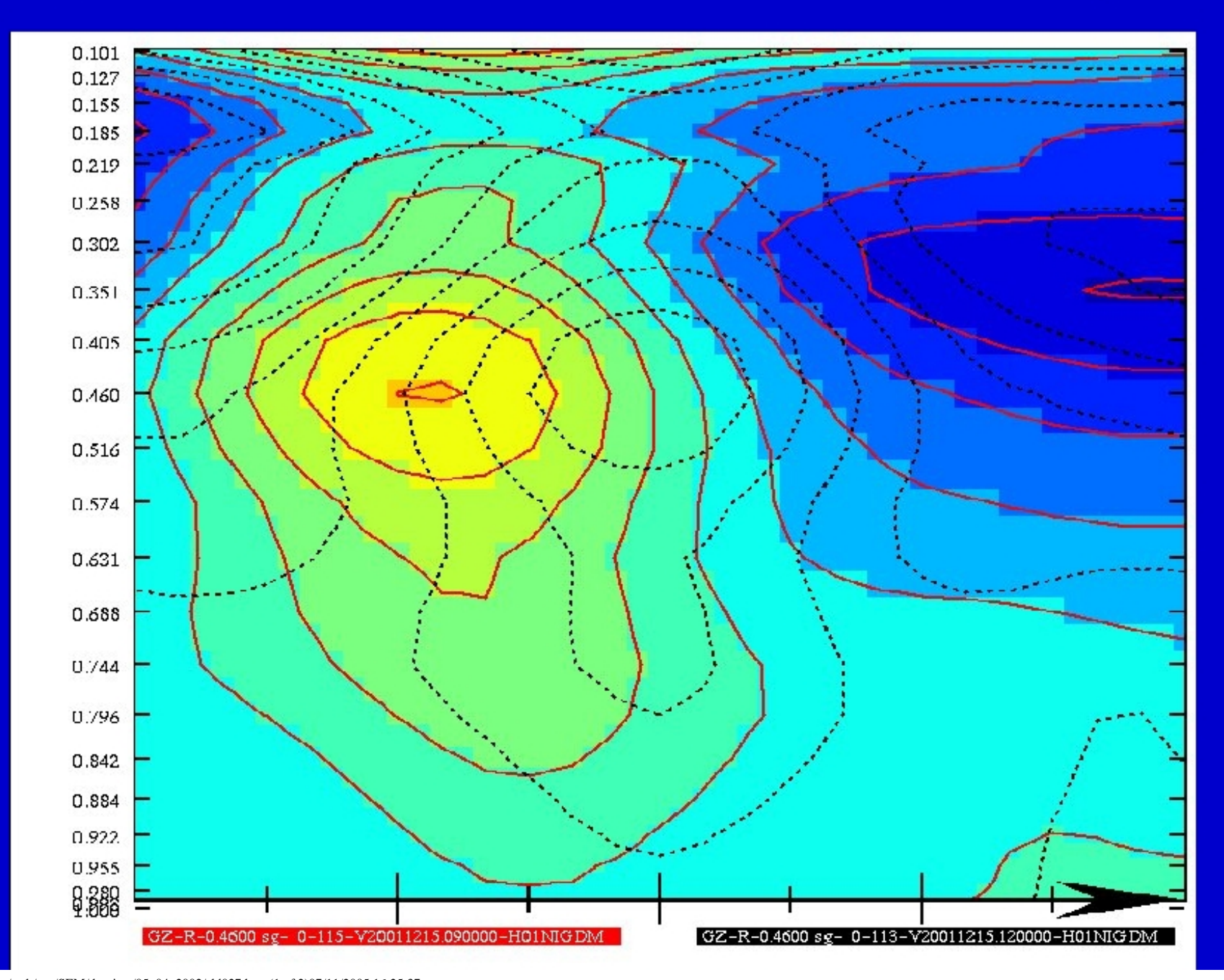


Incréments d'analyse 4D-Var et FGAT

4D-Var (rouge), 3D-Var (noir), Vents du champ d'essai



Coupe verticale de l'incrément d'analyse



Aspects informatiques et techniques

- Minimisation interne
 - combinaison du lanceur du 3D-Var (Felix) et de GEM-DM (Um_Launch)
 - Exécution simultanée de GEM-DM et du 3D-Var avec échange d'objets (mode couplé)
- Gestion complète du cycle
 - Adaptations à Kuklos ne requièrent que des interventions à certains modules
 - Inclusion des analyses de surface et redémarrage à chaud du modèle
- Implications pour la chaine opérationnelle

Aspects scientifiques

- Impact et rôle de la physique simplifiée utilisée dans la boucle interne (Laroche, Zadra, Mahfouf et Fillion)
 - Diffusion verticale, gravity-wave drag et condensation stratiforme (GEM-DM 2.3.1)
- Configuration de la minimisation
 - Nombre d'itérations internes et externes
 - Exemple: première boucle comprenant 30 itérations, une mise-à-jour suivi de 20 itérations avec physique
- Impact de l'allongement de la période d'assimilation

Aspects scientifiques (suite)

- Estimation de P_a
 - Calcul des vecteurs singuliers dominants à l'aide d'un algorithme de Lanczos (M. Buehner)

$$P_{\alpha}^{-1} = B^{-1} + H^{T}R^{-1}H$$

- Couplage au filtre de Kalman d'ensemble pour cycler le 4D-Var
- Application du 4D-Var à un modèle à aire limitée
 - TLM et adjoint peuvent être disponibles pour la version aire limitée de GEM

Conclusion

- Parachèvement du développement technique du 3D-Var
 - Synchronisation avec le développement du 3D-Var
 - Ajout de nouveaux types d'observation et parallélisation
 - Gestion automatisée des cycles du 4D-Var par Kuklos
- Réalisation de cycles d'assimilation complets
 - Réévaluation de l'impact de certains types
 d'observation dans un cadre 4D (e.g., QuickScat)

Fin...